

Fig. 160. Erstarrungsschaubild des Systems Nickel-Blei. — Nach Voss. (Aus Landolt-Börnstein, Physikalisch-chem. Tabellen, 5. Aufl., Bd. I.) Bei *h-i-k* magnetische Umwandlung.

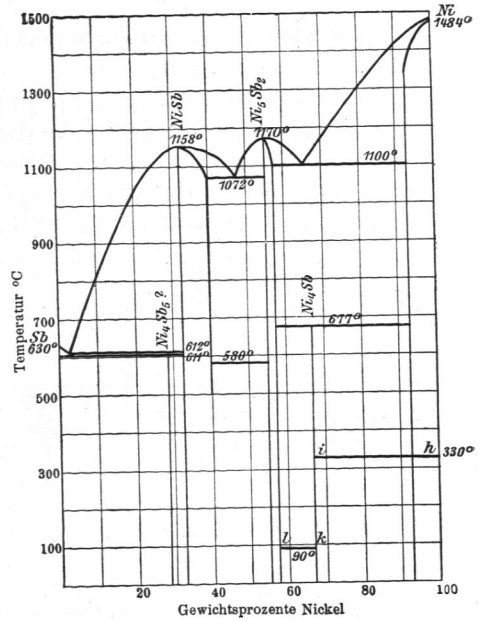


Fig. 161. Erstarrungsschaubild des Systems Nickel-Antimon. — Nach Lossev. (Aus Landolt-Börnstein, Physikalisch-chem. Tab., 5. Aufl., Bd. I.) Bei *h-i* und *k-l* magnetische Umwandlung.

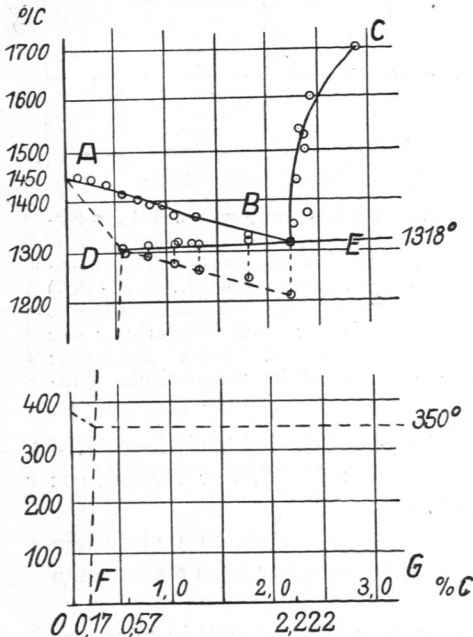


Fig. 162. Erstarrungsschaubild des Systems Nickel-Kohlenstoff. — Nach Kasé. *A-B* primäre Ausscheidung von Mischkristallen der Zusammensetzung *A-D*; *B-C* primäre Ausscheidung von Ni<sub>3</sub>C (bzw. Graphit und Ni); *D-E* Ausscheidung von Mischkristall-Ni<sub>3</sub>C-Eutektikum.

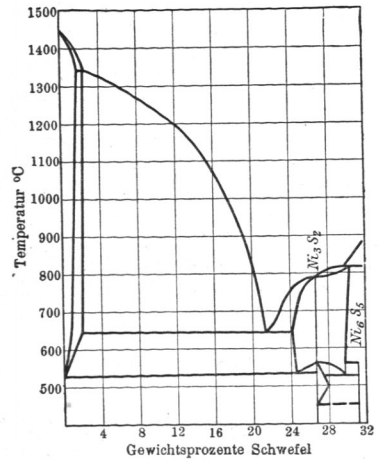


Fig. 163. Erstarrungsschaubild des Systems Nickel-Schwefel. — Nach Bornemann. (Aus Landolt-Börnstein, Physikalisch-chem. Tabellen, 5. Aufl., Bd. I.)